

УДК 539.3

ГРАНИЧНО-ЭЛЕМЕНТНОЕ РЕШЕНИЕ ТРЕХМЕРНЫХ КРАЕВЫХ ЗАДАЧ ТЕОРИИ ПОРОУПРУГОСТИ НА ОСНОВЕ ШАГОВОЙ СХЕМЫ РАДО*

© 2016 г.

Белов А.А.¹, Айзикович С.М.²

¹Научно-исследовательский институт механики
Нижегородского государственного университета им. Н.И. Лобачевского,
Нижний Новгород, Российская Федерация

²Научно-образовательный центр «Материалы» Донского государственного
технического университета, Ростов-на-Дону, Российская Федерация

belov_a2@mech.unn.ru

Поступила в редакцию 26.10.2015

Развита методика гранично-временных элементов, основанная на применении шагового метода численного обращения преобразования Лапласа совместно с семейством методов Рунге – Кутты. Численные решения получены на основе применения схемы Радо и сопоставлены с гранично-элементными результатами на основе схемы Эйлера. Исследования проведены с использованием модели пороупругой среды Био. Применение шаговой схемы на узлах методов Рунге – Кутты, введение переменного шага интегрирования, учет симметрии подынтегральной функции, использование параллельных вычислений позволили уменьшить время гранично-элементного расчета при сохранении высокой точности полученных результатов.

Ключевые слова: граничные интегральные уравнения, метод Рунге – Кутты, преобразование Лапласа.

Введение

Одной из ключевых сложностей построения гранично-элементной схемы в сочетании с интегральным преобразованием Лапласа [1–3] является проблема численного обращения преобразования Лапласа. В статье [4] приводится модификация метода, позволяющая учитывать специфику интегрирования сильно осциллирующих функций. Расширение подхода дают работы [5, 6], использующие схемы Рунге – Кутты для решения задачи Коши, порожденной специальной процедурой обращения преобразования Лапласа. В настоящей статье развита методика гранично-временных элементов, основанная на применении шагового метода численного обращения преобразования Лапласа совместно с семейством методов Рунге – Кутты.

* Выполнено при финансовой поддержке РФФИ (грант 15-38-50353).

1. Модель пороупругой среды

Краевая задача для модели Био линейной насыщенной пороупругой среды в преобразованиях Лапласа (параметр преобразования s) относительно перемещений \bar{u}_i и порового давления \bar{p} имеет вид [1]:

$$\begin{aligned} G\bar{u}_{i,jj} + \left(K + \frac{G}{3}\right)\bar{u}_{j,ij} - (\alpha - \beta)\bar{p}_{,i} - s^2(\rho - \beta\rho_f)\bar{u}_i &= -\bar{F}_i, \\ \frac{\beta}{s\rho_f}\bar{p}_{,ii} - \frac{\phi^2 s}{R}\bar{p} - (\alpha - \beta)s\bar{u}_{i,i} &= -\bar{a}, \quad x \in \Omega, \\ \bar{u}'(x, s) = \tilde{u}', \quad x \in \Gamma^u, \quad \bar{u}' &= (\bar{u}_1, \bar{u}_2, \bar{u}_3, \bar{p}), \\ \bar{t}'_n(x, s) = \tilde{t}'_n, \quad x \in \Gamma^\sigma, \quad \bar{t}' &= (\bar{t}_1, \bar{t}_2, \bar{t}_3, \bar{q}), \end{aligned} \quad (1)$$

где Γ^u – граница Дирихле, Γ^σ – граница Неймана; G, K – константы упругости; ϕ – пористость; \bar{F}_i, \bar{a} – объемные силы,

$$\beta = \frac{\kappa\rho_f\phi^2 s}{\phi^2 + \kappa(\rho_a + \phi\rho_f)}, \quad \alpha = 1 - \frac{K}{K_s} \quad \text{и} \quad R = \frac{\phi^2 K_f K_s^2}{K_f(K_s - K) + \phi K_s(K_s - K_f)}$$

– константы, описывающие взаимодействие упругого скелета с наполнителем; κ – проницаемость; ρ, ρ_a, ρ_f – плотности материала, присоединенной массы и наполнителя соответственно; K_s, K_f – объемные модули упругости скелета и наполнителя соответственно; \bar{t} – обобщенная сила, \bar{q} – поток.

2. Гранично-элементная методика

Решение трехмерной краевой задачи может сводиться к решению граничного интегрального уравнения (ГИУ) вида [1, 2, 7]:

$$\begin{aligned} \alpha_\Omega u_k(x, s) + \int_\Gamma (\tilde{T}_{ik}(x, y, s)u_i(y, s) - \tilde{T}_{ik}^0(x, y, s)u_i(x, s) - \tilde{U}_{ik}(x, y, s)t_i(y, s))d\Gamma &= 0, \\ x \in \Gamma, \quad t = (t_1, t_2, t_3, q)^T, \quad u &= (u_1, u_2, u_3, p)^T, \end{aligned}$$

где α_Ω – обобщенный коэффициент жесткости; $\tilde{U}(x, s), \tilde{T}(x, s)$ – фундаментальные и сингулярные решения системы (1), решение $\tilde{T}^0(x, s)$ содержит выделенные особенности. Выделение особенностей ГИУ позволяет провести регуляризацию и построить гранично-элементную схему.

Для аппроксимации граничной поверхности используется ее разбиение на совокупность четырехугольных и треугольных восьмиузловых биквадратичных элементов, при этом треугольные элементы считаются вырожденными четырехугольными. Каждый из элементов отображается на эталонный: соответственно либо квадрат $\xi = (\xi_1, \xi_2) \in [-1, 1]^2$, либо треугольник $0 \leq \xi_1 + \xi_2 \leq 1, \xi_1 \geq 0, \xi_2 \geq 0$. Узлы интерполяции неизвестных граничных функций являются подмножеством геометрических узлов наложенной гранично-элементной сетки. Локальная аппроксимация строится по согласованной интерполяционной модели Р.В. Гольдштейна [8]: обобщенные граничные перемещения аппроксимируются по билинейным граничным элементам, в то время как обобщенные усилия представляются на элементах постоянными. Для получения дискретного аналога ГИУ используется метод коллокации. В качестве узлов коллокации выбирается множество узлов аппроксимации

исходных граничных функций. Интегральные коэффициенты дискретных аналогов ГИУ и гранично-временных интегральных уравнений (ГВИУ) вычисляются на основе квадратурной формулы Гаусса с использованием алгоритмов понижения порядка и устранения особенности [2].

3. Шаговая схема на узлах методов Рунге – Кутты

Для интегрального преобразования Лапласа

$$\bar{f}(s) = \int_0^{\infty} f(t)e^{-st} dt$$

рассмотрена шаговая схема численного обращения на узлах метода Рунге – Кутты, представленная в виде таблицы Бутчера:

$$\frac{c|A^T}{b^T}, \quad A \in R^{m \times m} \quad b, c \in R^m.$$

Шаговый метод численного обращения преобразования Лапласа близок по своей формулировке к методу квадратур свертки. Однако, в то время как метод квадратур свертки основан на теореме о свертке оригиналов, шаговый метод численного обращения преобразования Лапласа основан на теореме об интегрировании оригинала. Эта теорема применяется к производной оригинала искомой функции, чтобы в результате интегрирования получить искомый оригинал:

$$f(t) = \int_0^t f'(\tau) d\tau.$$

Опираясь на [5], записываем систему выражений для значений оригинала функции:

$$f(0) = 0, \quad f(n\Delta t) = b^T A^{-1} \sum_{k=1}^n \omega_k(\Delta t), \quad n = 1, \dots, N.$$

Коэффициенты $\omega_k(\Delta t)$ находятся численно с помощью комбинированной формулы, учитывающей специфику интегрирования сильно осциллирующих функций [9]. Вычисления производятся с переменным шагом интегрирования по аргументу ϕ и линейной аппроксимацией интегрируемой функции:

$$\omega_n(\Delta t) = \frac{R^{-n}}{2\pi} \sum_{k=0}^{L-1} \frac{\phi_{k+1} - \phi_k}{2} e^{-in(\phi_{k+1} - \phi_k)/2} [D_1(w)\bar{f}(s_k)s_k + D_2(w)\bar{f}(s_{k+1})s_{k+1}],$$

$$s_k = \frac{\gamma(Re^{i\phi_k})}{\Delta t}, \quad w = -n \frac{\phi_{k+1} - \phi_k}{2},$$

$$D_{1,2}(w) = \begin{cases} \frac{\sin w}{w} \pm \frac{w \cos w - \sin w}{w^2} i & \text{при } |w| > w_*, \\ e^{\mp wi} & \text{при } |w| \leq w_*. \end{cases}$$

Характеристическая функция $\gamma(z)$ имеет вид [5]:

$$\gamma(z) = A^{-1} - zA^{-1}[1]b^T A^{-1}.$$

Описанная методика применена для решения задач о действии вертикальной силы на пороупругое призматическое тело и на пороупругое полупространство.

4. Задача о действии силы в виде функции Хевисайда на торец пороупругого призматического тела

Рассмотрена задача о действии торцевой силы на пороупругое призматическое тело с жестко закрепленным концом. Исследуются перемещения и поровое давление, вызванные силой $P = P_0 H(t)$, $P_0 = 1 \text{ Н/м}^2$. Длина консоли $l = 3 \text{ м}$. Приняты следующие параметры материала: $K = 4,8 \cdot 10^9 \text{ Н/м}^2$, $G = 7,2 \cdot 10^9 \text{ Н/м}^2$, $\rho = 2458 \text{ кг/м}^3$, $\varphi = 0,19$, $K_s = 3,6 \cdot 10^{10} \text{ Н/м}^2$, $\rho_f = 1000 \text{ кг/м}^3$, $K_f = 3,3 \cdot 10^9 \text{ Н/м}^2$, $\kappa = 1,9 \cdot 10^{-10} \text{ м}^4/(\text{Н}\cdot\text{с})$.

Используется гранично-элементная сетка из $X = 224$ элементов и $N = 500$ (125) шагов по времени для вычисления отклика перемещения (порового давления); распределение количества узлов \mathcal{L} по углу ϕ кусочно-равномерное на промежутках $[0, 1/2]$, $[1/2, \pi]$, $([0, \pi/2]$, $([\pi/2, \pi])$ в отношении 95% к 5%. На рис. 1, 2 представлены отклики перемещений на свободном конце и давлений на закрепленном конце, полученные с помощью шаговой схемы на основе метода Радо при разных значениях \mathcal{L} , и результаты, полученные на основе шаговой схемы по методу Эйлера при $\mathcal{L} = 2000$ [7, 10] (красная сплошная линия на рис. 1 и 2).

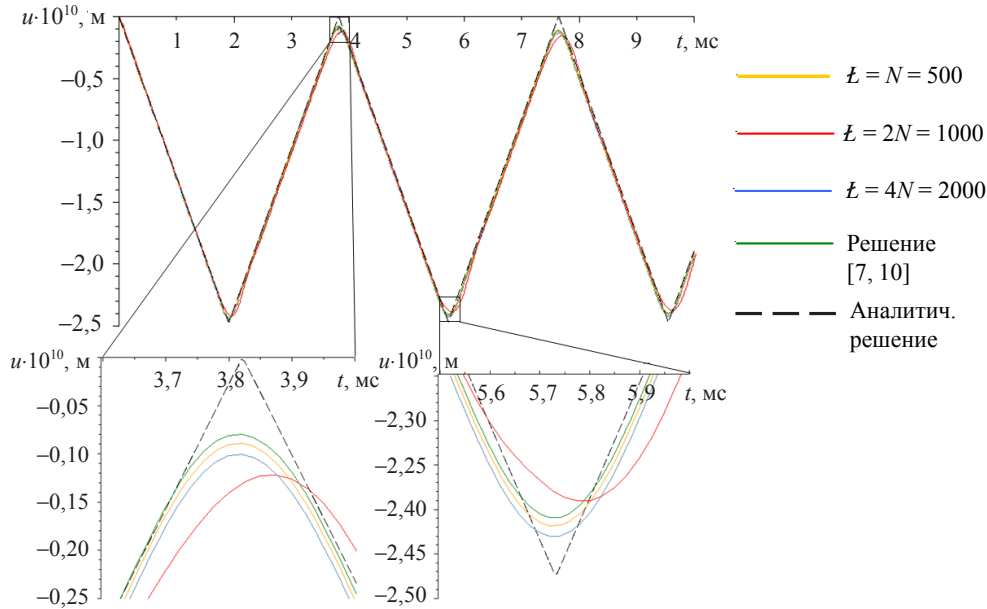


Рис. 1

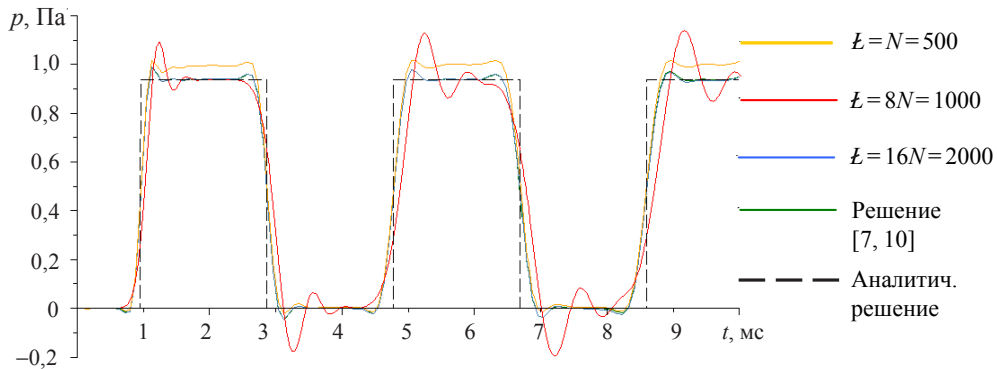


Рис. 2

Видно, что для получения приемлемого результата с помощью шагового метода на узлах схемы Радо достаточно меньшего числа и шагов по времени, и расчетных узлов по углу ϕ . Это позволяет значительно сократить вычислительные затраты, получая при этом лучшее решение.

Необходимо отметить, что шаговая по времени гранично-элементная схема с численным обращением преобразования Лапласа методом на основе схемы Радо чувствительнее к погрешностям вычислений $\tilde{f}(s)$ схемы, основанной на методе Эйлера.

5. Задача о пороупругом полупространстве

Рассматривается задача о действии вертикальной силы $t_3 = t^0 f(t)$, $t^0 = -1000 \text{ Н/м}^2$ на элемент поверхности однородного пороупругого полупространства площадью 1 м^2 . В качестве закона изменения нагрузки на участке взята функция Хевисайда $f(t) = H(t)$. Дневная поверхность полупространства свободна и проницаема, на поверхности поровое давление $p = 0$. Приняты следующие параметры материала (скальная порода [1]): $K = 8 \cdot 10^9 \text{ Н/м}^2$, $G = 6 \cdot 10^9 \text{ Н/м}^2$, $\rho = 2458 \text{ кг/м}^3$, $\phi = 0,19$, $K_s = 3,6 \cdot 10^{10} \text{ Н/м}^2$, $\rho_f = 1000 \text{ кг/м}^3$, $K_f = 3,3 \cdot 10^9 \text{ Н/м}^2$, $\kappa = 1,9 \cdot 10^{-10} \text{ м}^4/(\text{Н}\cdot\text{с})$.

Задача решалась методом гранично-временных элементов с применением шаговой схемы на узлах метода Радо (Radau ПА) [5]. На рис. 3 и 4 продемонстрированы отклики горизонтальных и вертикальных перемещений в точке на расстоянии 15 м от центра нагруженного участка, рассчитанные с использованием гранично-элементной сетки из 1680 элементов (сетка 1). В качестве параметров шаговой схемы принято: $R = 0,997$, число шагов по времени: $N = 250$ и различное число узлов интегрирования \mathcal{E} по аргументу ϕ (с учетом двукратности для схемы Радо). Для сравнения приведены результаты на сетке из 1980 элементов (сетка 2) и решение из [10].

Были проведены исследования откликов перемещений, полученных на сетке 2 при различных N и \mathcal{E} . Результаты сопоставлены с решением из [10] на сетке из 2160 элементов. Исследование подтвердило результаты, полученные в [10]. Однако для вычисления отклика перемещений с использованием шаговой по времени схемы на узлах метода Радо достаточно 250 узлов по времени и 250 двукратных узлов по аргументу ϕ .

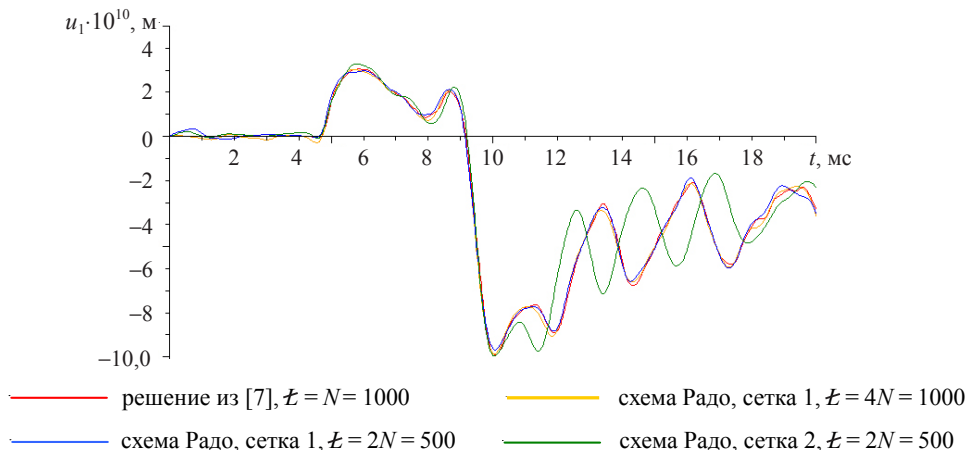


Рис. 3

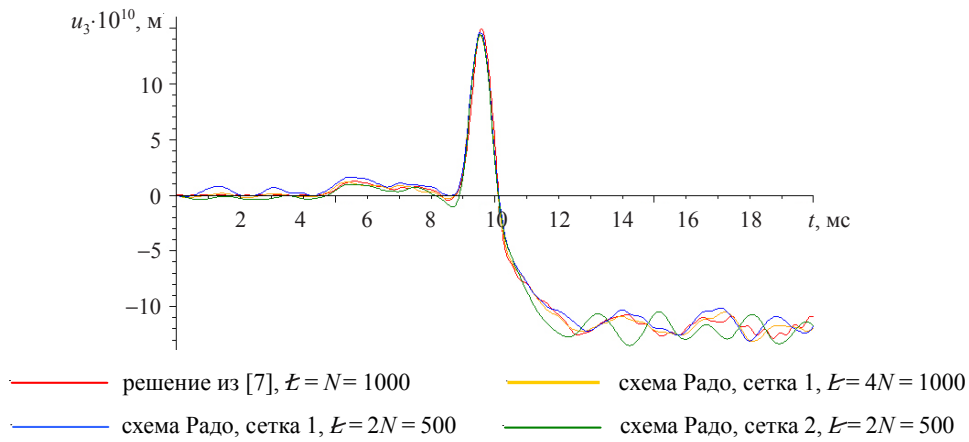


Рис. 4

На рис. 5 и 6 показана зависимость отклика перемещений от удаленности точки снятия наблюдений от центра приложения нагрузки: $l = 8; 11,7; 15; 18,47$ и 23 м.

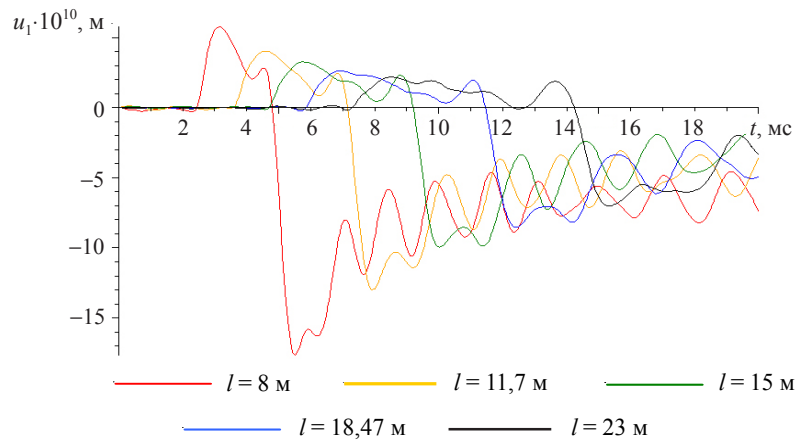


Рис. 5

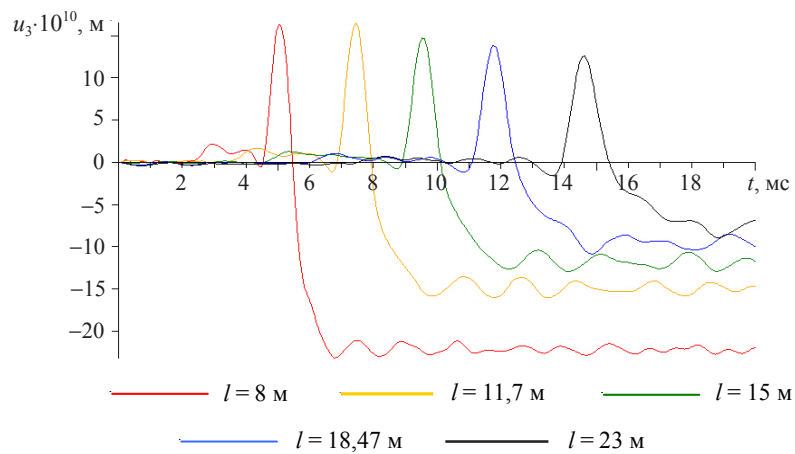


Рис. 6

Видно, что время прихода волны прямо пропорционально расстоянию от наблюдаемой точки до точки приложения силы, а амплитуда волны обратно пропорциональна этому расстоянию. Компоненты отклика перемещений в разных точках проявляют один и тот же характер изменения во времени.

6. Задача о действии вертикальной силы на поверхность пороупругого полупространства, ослабленного полостью

Рассмотрим задачу о действии вертикальной силы на поверхность пороупругого полупространства, ослабленного под площадкой приложения силы полостью. Рассматриваются два варианта полости – сферическая и кубическая. В качестве действующей силы принята вертикальная сила $P(t) = P_0 H(t)$, $P_0 = 1000 \text{ Н/м}^2$ на площади $S = 1 \text{ м}^2$ дневной поверхности полупространства. Граница полупространства полагается непроницаемой ($q = 0$). Внутри полупространства расположена сферическая или кубическая полость с диаметром (стороной) 10 м (рис. 7), причем центр полости находится на глубине $h = 7,5 \text{ м}$. Исследуются перемещения и поровое давление на поверхности полупространства на расстоянии 15 м от области действия силы.

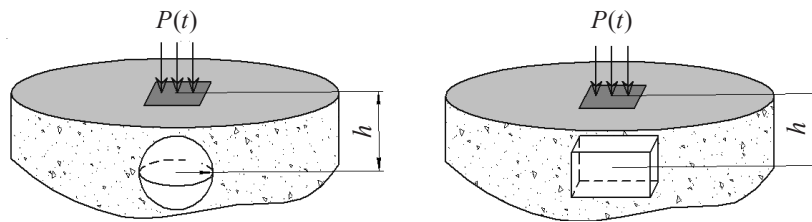


Рис. 7

В качестве пороупругого материала взята скальная порода с такими же параметрами, как в п. 5. Гранично-элементные сетки строятся с учетом двух плоскостей симметрии. Четверть сетки содержит для полупространства 420 элементов и 465 узлов, для полости – 324 элемента и 355 узлов. Для расчетов взято $N = 250$ узлов по времени и $L = 500$ двукратных узлов по аргументу ϕ на промежутке $[0, \pi]$.

На рис. 8–10 представлены графики влияния формы полости на отклики перемещений и порового давления на расстоянии $l = 15 \text{ м}$ от области действия силы в виде функции Хевисайда.

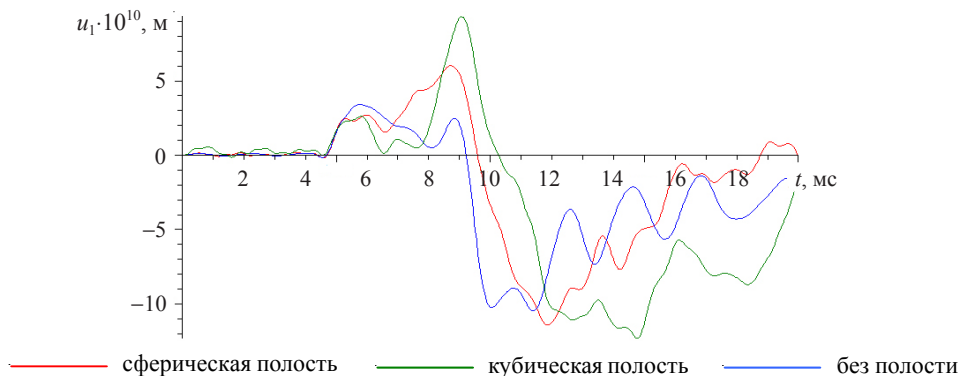


Рис. 8

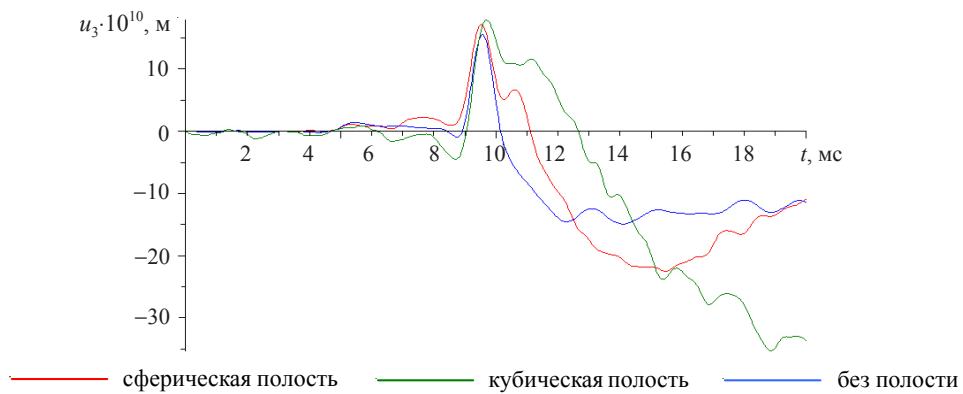


Рис. 9

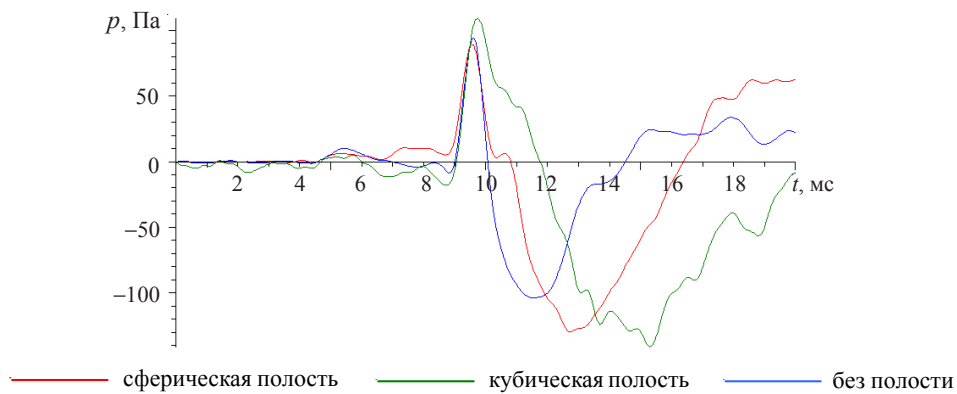


Рис. 10

На рис. 11–13 приведены зависимости откликов перемещений и порового давления от удаления от источника нагрузки на 15; 19,4; 22,18 и 25,4 м для полупространства со сферической полостью.

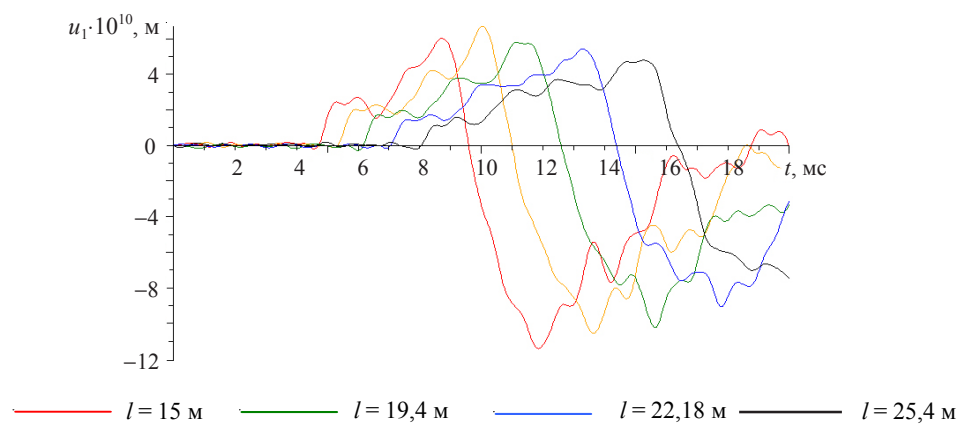


Рис. 11

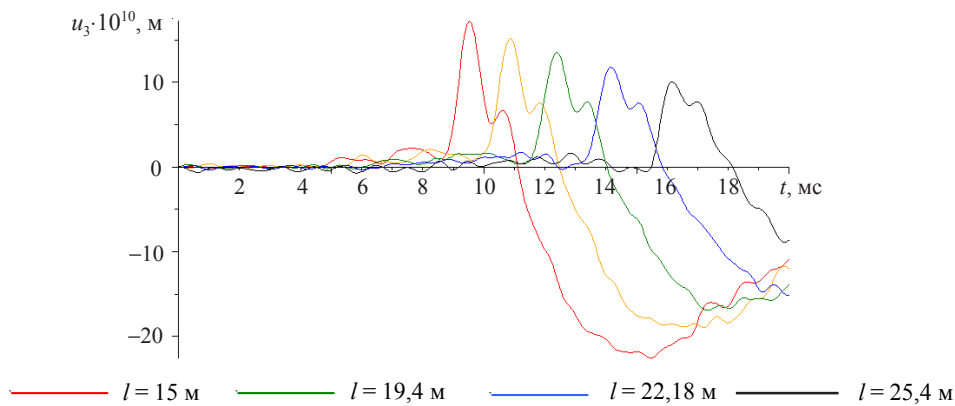


Рис. 12

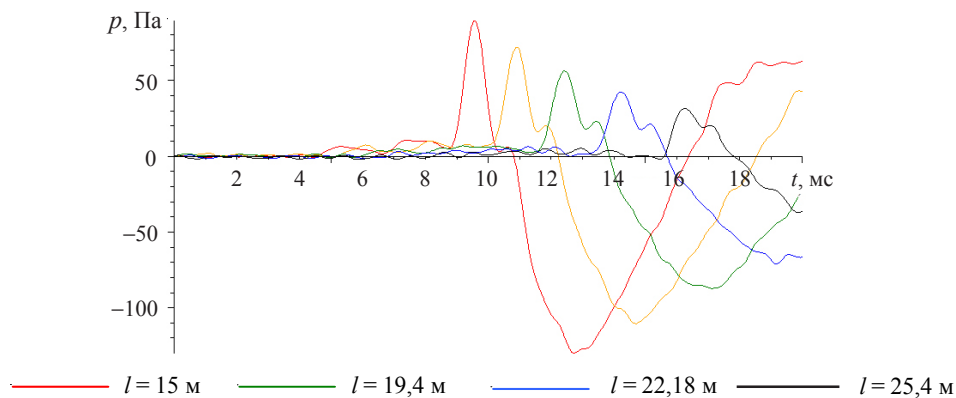


Рис. 13

Заключение

Представлена постановка начально-краевой задачи пороупругости, построена шаговая схема численного обращения преобразования Лапласа на узлах методов Рунге – Кутты. Численные решения получены на основе применения схемы Радо и сопоставлены с гранично-элементными результатами, полученными на основе схемы Эйлера, и с аналитическими решениями. Разработано программное обеспечение, проведена его верификация на основе известных аналитических решений. Программное обеспечение оптимизировано и встроено в существующий пакет гранично-элементного моделирования пороупругих сред и материалов. Решен ряд модельных и прикладных задач, проведено сравнение с существующими в научной литературе решениями. Проведен анализ возникающей волновой картины. Использование шаговой схемы на узлах методов Рунге – Кутты, введение переменного шага интегрирования и учета симметрии подынтегральной функции, использование параллельных вычислений позволили повысить точность и скорость вычислений.

Список литературы

1. Schanz M. *Wave propagation in viscoelastic and poroelastic continua*. Berlin: Springer, 2001. 170 p.

2. Баженов В.Г., Игумнов Л.А. *Методы граничных интегральных уравнений и граничных элементов в решении задач трехмерной динамической теории упругости с сопряженными полями*. М.: Физматлит, 2008. 352 с.
3. Угодчиков А.Г., Хуторянский Н.М. *Метод граничных элементов в механике деформируемого твердого тела*. Казань: Изд-во Казанского ун-та, 1986. 295 с.
4. Белов А.А., Игумнов Л.А., Литвинчук С.Ю. Гранично-элементная методика на основе модифицированного метода квадратур сверток в динамических задачах упругих тел. *Проблемы прочности и пластичности*. 2008. Вып. 70. С. 150–158.
5. Banjai L. Multistep and multistage convolution quadrature for the wave equation: Algorithms and experiments. *SIAM J. Sci. Comput.* 2010. **32**. P. 2964–2994.
6. Banjai L., Messner M., Schanz M. Runge – Kutta convolution quadrature for the boundary element method. *Comput. Meth. Appl. Mech. Engrg.* 2012. Vol. 245–246. P. 90–101.
7. Аменицкий А.В., Белов А.А., Игумнов Л.А., Карелин И.С. Граничные интегральные уравнения для решения динамических задач трехмерной теории пороупругости. *Проблемы прочности и пластичности*. 2009. Вып. 71. С. 164–171.
8. Гольдштейн Р.В. К вопросу о применении метода граничных интегральных уравнений для решения задач механики сплошных сред. Метод граничных интегральных уравнений: Вычислительные аспекты и приложения в механике. *Механика: новое в зарубежной науке*: Сб. ст. М.: Мир, 1978. С. 183–209.
9. Баженов В.Г., Белов А.А., Игумнов Л.А. *Гранично-элементное моделирование динамики кусочно-однородных сред и конструкций*. Н. Новгород: Изд-во Нижегородского государственного университета, 2009. 180 с.
10. Петров А.Н. *Моделирование динамики составных пороупругих тел на основе метода гранично-временных элементов*: Дис... канд. физ.-мат. наук. Н.Новгород, 2013. 135 с.

References

1. Schanz M. *Wave propagation in viscoelastic and poroelastic continua*. Berlin: Springer, 2001. 170 p.
2. Bazhenov V.G., Igumnov L.A. *Metody granichnykh integral'nykh uravneniy i granichnykh elementov v reshenii zadach trekhmernoy dinamicheskoy teorii uprugosti s sopryazhennymi polyami*. М.: Физматлит, 2008. 352 с.
3. Ugodchikov A.G., Khutoryanskiy N.M. *Metod granichnykh elementov v mekhanike deformiruемого tverdogo tela*. Kazan': Izd-vo Kazanskogo un-ta, 1986. 295 s.
4. Belov A.A., Igumnov L.A., Litvinchuk S.Yu. Granichno-elementnaya metodika na osnove modifitsirovannogo metoda kvadratur svrtok v dinamicheskikh zadachakh uprugikh tel. *Problemy prochnosti i plastichnosti*. 2008. Vyp. 70. С. 150–158.
5. Banjai L. Multistep and multistage convolution quadrature for the wave equation: Algorithms and experiments. *SIAM J. Sci. Comput.* 2010. **32**. P. 2964–2994.
6. Banjai L., Messner M., Schanz M. Runge – Kutta convolution quadrature for the boundary element method. *Comput. Meth. Appl. Mech. Engrg.* 2012. Vol. 245–246. P. 90–101.
7. Amenitskiy A.V., Belov A.A., Igumnov L.A., Karelin I.S. Granichnye integral'nye uravneniya dlya resheniya dinamicheskikh zadach trekhmernoy teorii porouprugosti. *Problemy prochnosti i plastichnosti*. 2009. Vyp. 71. S. 164–171.
8. Golshteyn R.V. K voprosu o primenenii metoda granichnykh integral'nykh uravneniy dlya resheniya zadach mekhaniki sploshnykh sred. Metod granichnykh integral'nykh uravneniy: Vychislitel'nye aspekty i prilozheniya v mekhanike. *Mekhanika: novoe v zarubezhnoy nauke*: Sb. st. М.: Mir, 1978. S. 183–209.
9. Bazhenov V.G., Belov A.A., Igumnov L.A. *Granichno-elementnoe modelirovanie dinamiki kusochno-odnorodnykh sred i konstruksiy*. N. Novgorod: Izd-vo Nizhegorodskogo gosuniversiteta, 2009. 180 s.
10. Petrov A.N. *Modelirovanie dinamiki sostavnykh porouprugikh tel na osnove metoda granichno-vremennykh elementov*: Dis... kand. fiz.-mat. nauk. N.Novgorod, 2013. 135 s.

**BOUNDARY-ELEMENT ANALYSIS OF 3D BOUNDARY-VALUE PROBLEMS
OF POROELASTICITY BASED ON RADAU STEPPED SCHEME**

Belov A.A.¹, Ayzikovich S.M.²

*¹Research Institute of Mechanics University of Nizhni Novgorod,
Nizhni Novgorod, Russian Federation*

*²Scientific-Educational Center "Materials" Don State Technical University,
Rostov-on-Don, Russian Federation*

A time boundary-element methodology is developed, based on using the stepped method of numerical inversion of Laplace transform in combination with a family of Runge–Kutta methods. The numerical solutions obtained using Radau scheme are compared with the results of boundary-element analysis based on Euler scheme. The investigation is done using Biot's model of a poroelastic medium. Use of the stepped scheme on the nodes of Runge–Kutta methods, introduction of a variable integration step, account for the symmetry of the integrand function, and use of simultaneous computations made it possible to reduce the time of boundary-element analysis, retaining the high accuracy of the results obtained.

Keywords: boundary integral equations, Runge–Kutta method, Laplace transform.